

电介質物理学

(弱電場部分)

I. H. 斯卡那維著

陈以鴻譯

陈季丹校

高等教育出版社

本書系根据苏联国立技术理論書籍出版社 Государственное издательство технико-теоретической литературы 1949年出版的斯卡那維(Г. И. Сканави)著“电介質物理学(弱電場部分)”[Физика диэлектриков(Область слабых полей)]譯出的。

本書詳細敘述在較弱電場作用下各種電介質中所發生的一些過程的物理意義。着重論述那些決定電介質在各技術部門利用的介質特性。

本書的讀者對象是以電介質物理學、電絕緣技術和電容器製造為專業并在這些方面工作的廣大科學工作者、工程師和高年級學生。

电 介 質 物 理 學

Г. И. 斯卡那維著

陈以鴻譯

高等教育出版社出版 北京宣武門內承恩寺7号
(北京市書刊出版業營業許可證字第054号)

商务印书馆上海厂印刷 新华书店发行

统一书号 15010·673 开本 860×1168 1/32 印张 166/16
字数 403,000 印数 1—1,900 定价(10) 元 2.40
1958年9月第1版 1958年9月上海第1次印刷

目 录

序	7
导言	1
第一章 不均匀介质中的电场	2
§1. 恒定电压下均匀电场中的双层有电导介质	3
甲、双层有电导电容器的充电	3
乙、双层有电导电容器的放电	9
§2. 交变电压下均匀电场中的双层有电导介质	14
第二章 介质的极化	22
§1. 电场内介质单位体积的电矩	22
§2. 原子和离子中的电子位移极化	23
§3. 离子位移极化	29
§4. 弹性联系极性分子的极化	32
§5. 与热运动有关的极化	35
甲、概说	35
乙、热离子极化	36
丙、热转向极化	40
§6. 介质中的有效电场。气体、非极性液体和立方晶体的介电系数与极化率之间的关系	48
§7. 气体的极化	55
甲、气体的极化率与介电系数的关系	55
乙、气体的 ϵ 与温度的关系	60
丙、气体的 ϵ 与压力的关系	65
丁、极性分子偶极矩的实验决定	67
戊、气体混合物的极化	69
§8. 非极性液体介质的极化	71
§9. 极性液体介质的极化(理论)	81
甲、模型理论	81
乙、统计理论	90
丙、德拜的修正及其评论。安谢耳姆理论	97
§10. 极性液体的极化。理论结果与实验结果的比较	106

甲、概說。極性液体的 ϵ 的計算	106
乙、極性液体的介電系數與溫度的關係	112
丙、溶液和混合物的極化。決定偶極矩的方法	116
§ 11. 固體介質的電子極化	124
甲、概說	124
乙、不含離子、極性分子和極性基的固體介質的極化	125
§ 12. 結晶固體簡說	129
§ 13. 离子晶体的極化	133
甲、概說	133
乙、立方體結構离子晶体的極化	136
§ 14. 介電系數大的晶体的極化	151
§ 15. 與熱運動有關的固體介質極化	165
甲、概說	165
乙、偶極晶体的極化。含有結晶水的晶体的極化	166
丙、含有極性分子或極性基的無定形固體介質的極化	169
丁、不含極性基的無定形介質的熱离子極化	171
§ 16. 壓電效應	174
§ 17. 薛格涅特晶体	175
甲、薛格涅特鹽	177
乙、 KH_2PO_4 , KD_2PO_4 和 KH_2AsO_4 薛格涅特晶体組	185
丙、偏鈸酸鉍	187
丁、薛格涅特晶体的应用	202
§ 18. 混合物的介質極化	203
§ 19. 介質極化的分類	205
第三章 介質的离子電導	207
概說	207
§ 1. 氣體的電導	209
甲、氣體中帶電質點的遷移率	209
乙、電離和複合	215
丙、氣體中電流與電壓的關係。飽和電流	218
丁、氣體中的空間電荷	222
§ 2. 液體介質的電導	223
甲、概說	223
乙、液體介質的离子電導	224
丙、液體介質的電泳電導	237
丁、液體介質的電淨化。電流與時間的關係	239
戊、液體介質中電流與電壓的關係	243
§ 3. 固體介質電導性質的決定	248

§ 4. 晶体离子电导的机理	256
§ 5. 低温下晶体离子电导的机理	270
§ 6. 晶体电导与温度的关系	272
§ 7. 無定形固体介質和陶瓷材料的离子电导	285
甲、概說	285
乙、玻璃的电导	286
丙、玻璃的电导与温度的关系	287
丁、玻璃的組成对电导的影响	288
戊、陶瓷材料的电导	293
己、有机無定形介質的电导	294
§ 8. 与电流通过固体介質有关的次級現象。違背欧姆定律的情形	298
甲、电流随时间的降落	298
乙、固体介質的“真正”电阻和剩余电阻	309
丙、强电場中的电导。違背欧姆定律的情形	316
§ 9. 固体介質的表面电导	320
第四章 介質損耗	324
§ 1. 介質極化建立过程	324
甲、概說	324
乙、介質極化随时间的建立	325
丙、热轉向極化的建立过程	334
丁、吸收电流	337
§ 2. 介質損耗的一般理論	342
甲、电流的重疊原理	343
乙、緩慢地建立的極化所造成的介質損耗	344

丙、理論結果的量的檢查	415
§ 9. 固體無機介質中的介質損耗	422
甲、概說	422
乙、無機晶体中的介質損耗	423
丙、無機玻璃中的介質損耗	427
丁、多晶介質中的松弛介質損耗和極化	438
戊、陶瓷材料中的介質損耗	446
§ 10. 固體有機介質中的介質損耗	452
甲、不含極性分子或極性基的固体有机介質中的介質損耗	452
乙、含有極性分子的固体有机介質中的介質損耗	457
§ 11. 超高頻電場中固体和液体介質的介質損耗和介電系數問題	474
§ 12. 不均勻介質中的介質損耗	483
甲、概說	483
乙、用來計算分層介質的 ϵ 和 $\operatorname{tg} \delta$ 的等效電路	485
丙、分層介質的 $\operatorname{tg} \delta$ 与外界因素的關係	491
丁、不均勻性分布复杂的不均勻介質	496
參考書刊	500
中俄文名詞對照表	510
俄文下標意義說明	516

导　　言

电介质的研究有两个基本方向。第一个方向以静电学和动电学定律对于具有已知特性(介电系数、电导率等)的电介质的应用为基础。这时考察的问题是媒质中的电场分布和电流密度分布,以及介质的热击穿等。这种处理方法在许多情形中是有利的。例如,在苏联科学家所发展的热击穿理论中,介质以一定的热导率、电导率(或损耗角)和介电系数作为特性,并经指出,如果电导率(或损耗角)随温度按指数律增长,则在一定电压下,介质的热平衡可能破坏,这就相当于热击穿。同时给出严格的数学理论,所导出的公式与实验良好地符合,可用来作技术计算。另一个例子是不均匀介质中电流随时间降落问题的研究。只要知道每一成分的介电系数和电导率,以及它们的分布,就可以很完全地描述这个现象。

第二个方向以考察电场作用下介质中所发生的过程与介质的组成和结构的关系为基础。这里电介质物理学与整个分子物理学密切关联,并且时常与物理化学相交错。

目前电介质物理学主要沿这第二个方向在发展。

第一章 不均匀介質中的電場

在远离击穿的电場范围内，整个介質可用两个基本参数来表明特性：介电系数 ϵ 和电导率 γ （交变电压下是介質損耗角 δ ）。

均匀介質作为具有一定的介电系数和电导率的媒質，是在动电学和物理学課程內研究的。同时在普通課程中，通常不大注意不均匀介电媒質中的电場分布問題。但是任何一种实际的介質，总多少是不均匀的。因此甚至最簡單的公式，严格說来也不适用于实际的介質。这些公式包括电場强度公式、傳导电流密度公式、含介質电容器充电和放电电流公式等。

介質中均匀电場强度等于

$$E = \frac{4\pi\sigma}{\epsilon} = \frac{U}{d},$$

其中 σ 是电極上电荷的表面密度； U 是电位差； d 是厚度。介質中傳导电流的密度和强度等于：

$$j = \gamma E, \quad J = \frac{\gamma S}{d} U \quad (\text{就均匀电場而言}),$$

其中 S 是电極面积； d 是电極間距离。 $\gamma=0$ 时含介質电容器的充电和放电电流决定于下式：

$$J_{\text{cap}} = \frac{U}{R} e^{-\frac{t}{RC}}, \quad J_{\text{pass}} = -\frac{U}{R} e^{-\frac{t}{RC}},$$

其中 C 是电容器的电容； R 是导綫的电阻。

如果均匀介質具有电阻 r ($\gamma \neq 0$)，則

$$J_{\text{cap}} = \frac{U}{R} e^{-\frac{t(1+\frac{R}{r})}{RC}} + \frac{U}{R+r} \left(1 - e^{-\frac{t(1+\frac{R}{r})}{RC}} \right),$$

(2)

$$J_{\text{pass}} = -\frac{U \left(1 + \frac{R}{r}\right)}{R} e^{-\frac{r(1+R)}{RC}}.$$

平板电容器的电容等于

$$C = \frac{\epsilon S}{4\pi d}.$$

在不均匀介质的情形中，所有这些公式以及其他许多公式都复杂得多。显然，只有知道了不均匀性的分布情形，才能得到所需的公式。但是要构成质的方面正确的图景，只需考察不均匀性的最简单的分布情形：叠起来的两个平面层，表面与电场垂直。这情形之所以值得注意，还因为实际上常采用这种双层绝缘。

因此在第一章（绪论）中，分析双层有电导介质的电场分布和其他有关效应的问题。当介质具有显著的不均匀性时，这些效应一定要加到其他各种过程之上，在以后各章（主体）的叙述中，正是指的这种情形。

§ 1. 恒定电压下均匀电场中的双层有电导介质

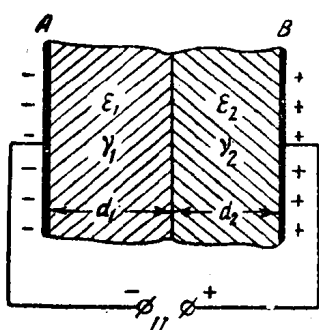
在实用上，常常采用含有一连串组成部分的绝缘，这些组成部分不仅有不同的介电系数，而且有不同的电导率（电缆绝缘——纸和绝缘胶，电机绝缘——云母板、云母纸和其他由云母、漆和纸组成的材料）。这种绝缘是很不均匀的介质。在这种介质中，各层所具有的电导使电场分布受到很大的影响，而与静态分布很不相同（特别是在恒定电压的情形中）。

甲、双层有电导电容器的充电

现在考察分层介质的最简单情形：均匀电场中的双层介质。设均匀电场所在的平板电容器电极间的空间，充以两层不同的介

质,与电极平行(图1)。

第一层和第二层的厚度、介电系数和电导率分别用 d_1 和 d_2 、



ϵ_1 和 ϵ_2 , γ_1 和 γ_2 代表。

设导线电阻等于零,于是电极上积聚电荷时的不稳定充电过程就没有了。在这情形中,电容器是立即充电的(建立介质极化的时间略去不计)。同时电极上电荷密度等于 $+\sigma_0$ 和 $-\sigma_0$ 。这电荷密度我们称做起始电荷密度。开始时,即电极上出现这起始电荷密度时,两层中的电场按照介电系数而分布。因此开始时

$$\frac{E_1^0}{E_2^0} = \frac{\epsilon_2}{\epsilon_1}。 \quad (1.1)$$

但是由于两层的电导率不同,电场分布立刻开始改变,在稳态中电场的分布不是这样的。

第一层和第二层中的传导电流密度从欧姆定律决定:

$$j_{1a} = \gamma_1 E_1, \quad j_{2a} = \gamma_2 E_2。 \quad (1.2)$$

两层中的传导电流不等。例如,取 $\epsilon_1 > \epsilon_2$, 而 $\gamma_1 < \gamma_2$, 则第二层中的电流密度 j_{2a} 大于 j_{1a} , 这首先是因为电导率较大($\gamma_2 > \gamma_1$), 其次是因为根据 (1.1), 过程开始时 $E_2^0 > E_1^0$ 。由于传导电流不等, 在两层的分界处开始积聚起自由电荷, 在这情形中是正的 ($j_{2a} > j_{1a}$, 图 1)。

但是分界处自由电荷的出现, 将使两层内的电场改变。在这情形中, 第二层内的电场减小, 第一层内的电场增大。两层内电场的改变又引起电流的改变, 根据 (1.2), 第二层内的电流减小, 第一层内的增大。这过程只有当两层内的传导电流相等, 因而分界面上自由电荷的积聚停止时, 才会结束。因此, 稳态中的电场分布

表示如下：

$$\gamma_1 E_{1ct} = \gamma_2 E_{2ct}, \quad \frac{E_{1ct}}{E_{2ct}} = \frac{\gamma_2}{\gamma_1}, \quad (1.3)$$

就是說，电导率小的層內的电場强度將大于电导率大的層內的。电場的这种重分布可用圖表示(圖 2)。

圖中直線對橫軸的傾斜角的正切在数值上等于电場强度。从始态过渡到稳态时，第一層內直線斜度增大，第二層內减小。

为了求出每一層內电場强度和总电流与时间的关系，利用全电流連續性的条件。

电極間空間中电場强度逐渐变动时，产生电容电流(位移电流)。

虽然总电压由于电容器已經充电到电压 U 而恒定不变，但是兩層內的电場强度还是在改变着。这种改变一直要到建成稳态为止。因此在建成稳态前，兩層內一直存在着电容电流。

每一層內的全电流等于傳导电流与位移电流的和。电流連續性的条件成为：

$$\gamma_1 E_1 + \frac{\epsilon_1}{k} \frac{dE_1}{dt} = \gamma_2 E_2 + \frac{\epsilon_2}{k} \frac{dE_2}{dt}, \quad (1.4)$$

其中 k 是單位換算系数，等于 $4\pi \times 9 \times 10^{11}$ 。

(1.4) 可对 E_1 和 E_2 求解，只要考虑到任何时候 E_1 与 E_2 之間具有如下的关系：

$$E_1 d_1 + E_2 d_2 = U \quad (E_1 d_1 = U_1, E_2 d_2 = U_2), \quad (1.5)$$

其中 U 是电極間的电压； U_1 是第一層上的电压； U_2 是第二層上的电压。

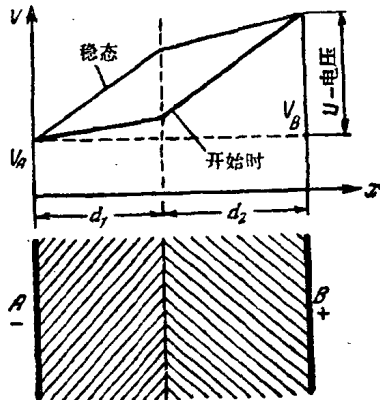


圖 2. 双層介質電容器中的
電位分布。

将(1.5)中的 E_2 代入(1.4), 经过简单的变换后得:

$$\frac{dE_1}{dt} \frac{(\varepsilon_1 d_2 + \varepsilon_2 d_1)}{k} + E_1 (\gamma_1 d_2 + \gamma_2 d_1) = \gamma_2 U. \quad (1.6)$$

解(1.6), 得第一层内的电场强度 E_1 与时间的关系:

$$E_1 = A e^{-\frac{\gamma_1 d_2 + \gamma_2 d_1}{\varepsilon_1 d_2 + \varepsilon_2 d_1} kt} + \frac{U \gamma_2}{\gamma_1 d_2 + \gamma_2 d_1}. \quad (1.7)$$

令 $\frac{\gamma_1 d_2 + \gamma_2 d_1}{\varepsilon_1 d_2 + \varepsilon_2 d_1} k = \frac{1}{\theta}$, 这里 θ 是电场重分布过程的时间常数。

从起始条件求 A 。

$t=0$ 时,

$$E_1^0 = \frac{\varepsilon_2 U}{\varepsilon_1 d_2 + \varepsilon_2 d_1},$$

其次:

$$E_1^0 = A + \frac{\gamma_2 U}{\gamma_1 d_2 + \gamma_2 d_1}, \text{ 或 } A = \frac{\varepsilon_2 U}{\varepsilon_1 d_2 + \varepsilon_2 d_1} - \frac{\gamma_2 U}{\gamma_1 d_2 + \gamma_2 d_1}.$$

将 A 的值代入(1.7), 经过变换后得:

$$E_1 = \frac{(\varepsilon_2 \gamma_1 - \varepsilon_1 \gamma_2) d_2 U}{(\varepsilon_1 d_2 + \varepsilon_2 d_1) (\gamma_1 d_2 + \gamma_2 d_1)} e^{-\frac{t}{\theta}} + \frac{U \gamma_2}{\gamma_1 d_2 + \gamma_2 d_1}. \quad (1.8)$$

不难看到, E_2 可和 E_1 一样地求得:

$$E_2 = \frac{(\varepsilon_1 \gamma_2 - \varepsilon_2 \gamma_1) d_1 U}{(\varepsilon_1 d_2 + \varepsilon_2 d_1) (\gamma_1 d_2 + \gamma_2 d_1)} e^{-\frac{t}{\theta}} + \frac{U \gamma_1}{\gamma_1 d_2 + \gamma_2 d_1}. \quad (1.8a)$$

因此,两层内的电场强度与时间有关。只有当 $t=\infty$ 时, 稳态建立, 两层内的电场恒定。从(1.8)和(1.8a)可知, 当 $t=\infty$ 时,

$$\left. \begin{aligned} E_{1\text{cr}} &= \frac{U \gamma_2}{\gamma_1 d_2 + \gamma_2 d_1}, \\ E_{2\text{cr}} &= \frac{U \gamma_1}{\gamma_1 d_2 + \gamma_2 d_1}, \end{aligned} \right\} \quad (1.8b)$$

$$U_{1\text{cr}} = E_{1\text{cr}} d_1, \quad U_{2\text{cr}} = E_{2\text{cr}} d_2.$$

电场强度与电导率成反比, 而不像开始时那样与介电系数成反比, 就是说真的具有(1.3)的关系。

獻給掌握科學和技術的
列寧共產主義青年團

序

雖然介質電特性的研究已經很久，有了整整一個世紀，同時關於發生在介質中的電的过程的珍貴報導，在法拉第的著作中已經可以找到，但是物理学中這部門的強有力的發展，只是在近几十年才開始的。這可以這樣來解釋：一方面，近年來電工技術的成就使我們可以對介質做遠較以前深入的研究，舉例來說，高壓變壓器的出現，使我們可以研究氣體在極高電壓下的行為；脈沖裝置、陰極示波器和高頻電路的設計，使我們可以研究在各種各樣不同的工作情況中的介質。另一方面，電工技術的強有力的發展，特別是高壓工程的發展，連續地提出了許多對它進一步發展的速度和途徑有顯著關係的有關絕緣的迫切問題。

目前，由於工作電壓的愈來愈高，電氣絕緣成了電工技術上最弱的部分之一。真的，不管是電纜也好，架空輸電線也好，高壓發電機和變壓器也好，到處尖銳地存在着怎樣絕緣這個問題，同時，發生的困難之大，使得在許多情形中不得不放棄以前的普通方法而另求新法。除了在工業中應用新的絕緣材料和絕緣方法（新的塑膠、氧化絕緣、壓縮空氣）外，改善現有絕緣的利用的問題，也具有重大的意義。

當我們面臨着像完全電氣化的總計劃，建築統一高壓電網和使運輸電氣化這一類任務時，電氣絕緣問題在發展我國^①國民經濟的條件下獲得了特別的重要性。同時必須指出，雖然我們對絕緣問題的科學研究工作有巨大的發展，我們在這方面絕不下於資

① 指蘇聯——譯者註。

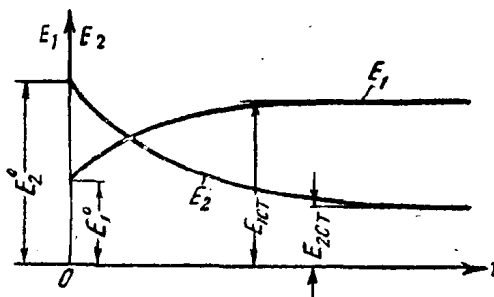


圖 3. 双層介質第一和第二層內電場強度與時間的關係。

(1.8a)], 与以前所述完全符合。

圖 4 示全电流密度与時間的关系曲綫。

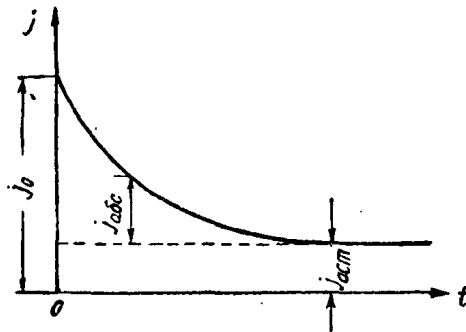


圖 4. 双層介質中全電流密度與時間的關係。

电流密度起始值 j_0 是最大的。这值可从(1.9)求出。設 $t=0$, 并作簡單的變換后, 得:

$$j_0 = \frac{\varepsilon_1^2 \gamma_2 d_2 + \varepsilon_2^2 \gamma_1 d_1}{(\varepsilon_1 d_2 + \varepsilon_2 d_1)^2} U_0. \quad (1.12)$$

起始电流由传导电流和位移电流相加而得。在这情形中, 第一層內的传导电流随电場强度的增長而增長, 第二層內的传导电流随电場强度的降落而降落。在稳态中, 两个传导电流相等, 等于剩余电流。兩層內的位移电流减小, 因为兩層內的电場变动速度逐渐减小。

从上可知，双层有电导电容器的充电过程与单层有电导电容器的充电过程大不相同。

主要区别是双层电容器充电时两层的分界面上积聚着自由电荷。

乙、双层有电导电容器的放电

现在来考察双层有电导电容器的放电。设电容器在充电时达到稳态。电场重分布过程已经结束，电流等于剩余电流。除去电源，将电极短接（图5）。

过了很短的时间，电极A和B的电位相等。但是充电完毕时存在于电极上的自由电荷没有完全中和，余下的过剩电荷与积聚在两层的分界面上的电荷等量而异号。导线电阻比电容器电阻小得多，因此我们把这过程的时间略去，正像略去电容 C_0 由介质极化所造成的时间一样。

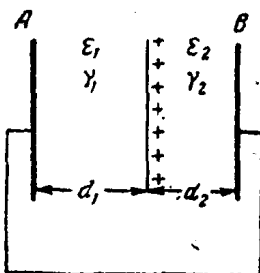


图5. 短路的双层介质电容器。

我们把这时候认作所分析的过程的开始。剩下的负（在这例子中）电荷分配于电极A和B，并被充电完毕时积聚在两层的分界面上的正电荷联系着。

现在来求短路时两层内电场强度的比。因为短路时电极A和B的电位相等，可写成：

$$U = U_1 + U_2 = E_{1k}d_1 + E_{2k}d_2 = 0. \quad (1.13)$$

由此得

$$\frac{E_{1k}}{E_{2k}} = -\frac{d_2}{d_1}. \quad (1.14)$$

在短路情形中的任何时候，电场强度与两层的厚度成反比，并且方向相反。图6示短路时的电位分布曲线。从图可见，电位与

距离的关系直线的斜度决定于两层的厚度，并且异号。

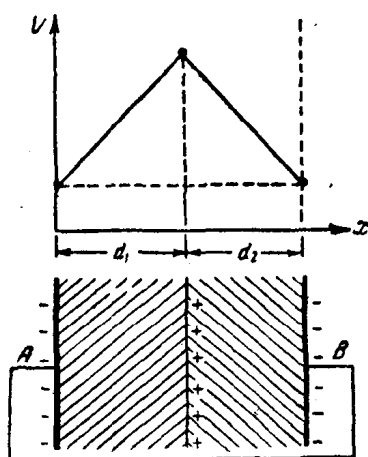


图 6. 短路(放电)时双层介质中电位与距离的关系。

短路后，电极 A 和 B 上立即剩下负电荷密度 $\sigma_{1cr} - \sigma_{2cr}$ ，它的绝对值与积聚在分界面上的正电荷密度 σ^* 相等。电极上剩下的电荷分配于电极 A 和 B。

放电开始时，电极 A 上的负电荷密度等于 σ_{1k}^0 ，电极 B 上的等于 σ_{2k}^0 。

显然，

$$\sigma_{1k}^0 + \sigma_{2k}^0 = \sigma^* = \sigma_{1cr} - \sigma_{2cr}。 \quad (1.15)$$

短路开始时第一层内的电场强度可以决定如下：

$$E_{1k}^0 = \frac{4\pi\sigma_{1k}^0}{\epsilon_1}。 \quad (1.16)$$

短路开始时第二层内的电场强度：

$$E_{2k}^0 = \frac{4\pi\sigma_{2k}^0}{\epsilon_2}。 \quad (1.16a)$$

利用第一、二两层内电场强度绝对值的比 (1.14)，得：

$$\frac{d_2}{d_1} = \frac{\sigma_{1k}^0 \cdot \epsilon_2}{\sigma_{2k}^0 \cdot \epsilon_1}， \text{ 或 } \frac{\sigma_{1k}^0}{\sigma_{2k}^0} = \frac{\epsilon_2 d_2}{\epsilon_1 d_1}。 \quad (1.17)$$

从 (1.15) 和 (1.17) 可得电极 A 和 B 上在我們所選擇的开始

已知短路时两层中电场强度的比，可以决定短路开始时每一电极上的负电荷密度，然后求出每一层中电场强度和电流密度与时间的关系。

积聚在分界面上的电荷的密度等于 $\sigma^* = \sigma_{1cr} - \sigma_{2cr}$ ，这里 σ_{1cr} 和 σ_{2cr} 是充电后稳态中每一电极上的电荷密度。

短路后，电极 A 和 B 上立即剩下负电荷密度 $\sigma_{1cr} - \sigma_{2cr}$ ，它的绝对值与积聚在分界面上的正电荷密度 σ^* 相等。电极上剩下的电荷分配于电极 A 和 B。

时候的电荷密度 σ_{1k}^0 和 σ_{2k}^0 。为此应求出充电完毕时积聚在分界面上的电荷的密度 σ^* :

$$\sigma^* = \sigma_{1\text{cr}} - \sigma_{2\text{cr}} = \frac{\varepsilon_1 E_{1\text{cr}}}{4\pi} - \frac{\varepsilon_2 E_{2\text{cr}}}{4\pi}, \quad (1.18)$$

因为

$$E_{1\text{cr}} = \frac{4\pi\sigma_{1\text{cr}}}{\varepsilon_1} \quad \text{和} \quad E_{2\text{cr}} = \frac{4\pi\sigma_{2\text{cr}}}{\varepsilon_2}.$$

把 (1.80) 中的 $E_{1\text{cr}}$ 和 $E_{2\text{cr}}$ 代入 (1.18), 得:

$$\sigma^* = \sigma_{1k}^0 + \sigma_{2k}^0 = \frac{U(\varepsilon_1\gamma_2 - \varepsilon_2\gamma_1)}{4\pi(\gamma_1d_2 + \gamma_2d_1)}. \quad (1.19)$$

于是得下列方程以决定 σ_{1k}^0 和 σ_{2k}^0 :

$$\sigma_{1k}^0 + \sigma_{2k}^0 = \frac{U(\varepsilon_1\gamma_2 - \varepsilon_2\gamma_1)}{4\pi(\gamma_1d_2 + \gamma_2d_1)},$$

$$\frac{\sigma_{1k}^0}{\sigma_{2k}^0} = \frac{\varepsilon_1 d_2}{\varepsilon_2 d_1}.$$

解上列方程, 得:

$$\left. \begin{aligned} \sigma_{1k}^0 &= \frac{U(\varepsilon_1\gamma_2 - \varepsilon_2\gamma_1)\varepsilon_1 d_2}{(\gamma_1 d_2 + \gamma_2 d_1)(\varepsilon_1 d_2 + \varepsilon_2 d_1)4\pi}, \\ \sigma_{2k}^0 &= \frac{U(\varepsilon_1\gamma_2 - \varepsilon_2\gamma_1)\varepsilon_2 d_1}{(\gamma_1 d_2 + \gamma_2 d_1)(\varepsilon_1 d_2 + \varepsilon_2 d_1)4\pi}. \end{aligned} \right\} \quad (1.20)$$

在我们所选择的开始时候两层内的电场强度不难从 (1.20)、(1.16) 和 (1.16a) 求出:

$$E_{1k}^0 = \frac{U(\varepsilon_1\gamma_2 - \varepsilon_2\gamma_1)d_2}{(\gamma_1 d_2 + \gamma_2 d_1)(\varepsilon_1 d_2 + \varepsilon_2 d_1)}, \quad (1.21)$$

$$E_{2k}^0 = -\frac{U(\varepsilon_1\gamma_2 - \varepsilon_2\gamma_1)d_1}{(\gamma_1 d_2 + \gamma_2 d_1)(\varepsilon_1 d_2 + \varepsilon_2 d_1)}, \quad (1.21a)$$

因为它们的方向相反。 E_{2k}^0 式中的负号表明第二层内的电场与充电时相反。

现在不难决定第一、二两层内的电场强度与时间的关系。为了这目的, 和双层电容器充电的情形一样, 利用全电流连续性的条